

粘性土の流動特性について

徳山工業高等専門学校

正員 藤原東雄

1 はじめに

粘性土の流動特性を解明するのに種々の方法・理論が検討されている。今回ここで述べるのは、rate process 理論を用いて検討した。本来 rate process 理論は液体構造の模型として、空孔理論を採用し、これに基づいて粘性理論として導かれたものである。したがって、粘土と水の微視的構造の立場から、高含水比、低含水比の両方で適用可能であり、流動特性を表わすのに便利である。流動特性に影響を与える因子としては、a) 粘土種類、b) 土の構造、c) 応力履歴、d) 排水条件、e) 荷重条件 etc. があると思われるが、ここでは三軸クリーク試験を行なった応力履歴が流動特性に与える影響、およびせん断強度との関係について調べた。

2 実験方法

試料は徳山港内の沖積粘土を用いた。その物理定数を表-1に示す。試料は液中に浮遊する砂を含む状態より練返し、三軸圧縮装置（試料径 30cm、高さ 40cm）で側面 20 kN/cm² にて約 1 月間圧密した。圧密終了後、シンクローラーテュードで約 2 年半、供試体を製作した。供試体は径 5.0 cm、高さ 12 ~ 13 cm で圧密を促進するため供試体をまくらり、ゲル油に油紙を挿入して。

三軸クリーク試験は、各 1.0, 3.0, 5.0 kN/cm² の側圧で 3 日間圧密したものと、圧密終了後 各々の側圧に除荷しにじみの 3 種類を行なう。初期クリープ荷重を載荷し定常クリープに移行したのち、一定増分荷重を加えた。荷重増分は 1.0 時間の時間間隔で載荷し試験中は排水条件とした。

一方、強度との関係を見るために、同じ荷重条件下三軸圧縮試験を行なった。

3 実験結果と考察

三軸圧縮試験の結果を図-1 に示す。正規圧密粘土では 粘着力 C = 0.0 kN/cm²、内摩擦角 φ = 19° であり、5.0 kN/cm² で圧密した粘土では C = 0.75 kN/cm², φ = 12.5° で、3.0 kN/cm² で圧密した粘土では C = 0.5 kN/cm², φ = 12.5° であった。

rate process 理論において、せん断力の作用による供給されるエネルギーが熱エネルギーよりも大きいと考えられる場合³⁾。

$$\dot{\gamma} = \frac{R T}{h} \exp\left(-\frac{\Delta F}{R T}\right) \exp\left(\frac{\lambda \epsilon}{2 R S T}\right) \quad (1)$$

が得られる。ここで、 $\dot{\gamma}$: ヒズミ速度、

R: ボルツマン定数 (1.335×10^{16} erg/deg·mol) T: 絶対温度、h: ブランク定数 (6.624×10^{-27} erg·sec), ΔF: 活性化エネルギー、R: ガス定数 ($1.987 \text{ cal/deg} \cdot \text{mol}$), λ: 流動単位の平衡位置間の距離, ε: 粘土に作用するせん断力, S: 微視的すべり面単位面積当たりの流動単位数(結合数)である。

$$\ln \dot{\gamma} = \ln\left(\frac{R T}{h}\right) - \frac{\Delta F}{R T} + \frac{\lambda \epsilon}{2 R S T} \quad (2)$$

表-1 試料の物理定数

比重	2.688
液性限界 %	88.5
塑性限界 %	30.5

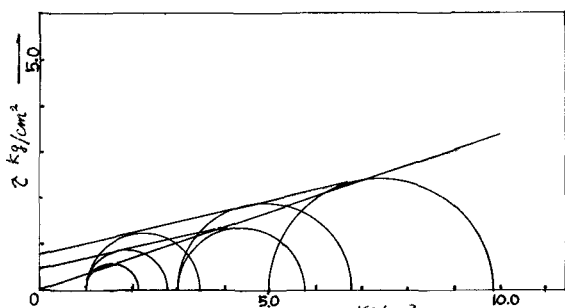


図-1 三軸圧縮試験結果(圧密排水条件)

式(2)は式(1)の両辺の対数をとったものである。応力増加によりヒズミ速度が変化すれば、

$$\ln\left(\frac{\dot{\gamma}_1}{\dot{\gamma}_2}\right) = (\epsilon_1 - \epsilon_2) \cdot \frac{1}{2 R S T} \quad (3)$$

で表わされる。ここで、 $\dot{\gamma}_1, \dot{\gamma}_2$ はそれぞれの応力増加前後のヒズミ速度、 ϵ_1, ϵ_2 はそれぞれ応力増加前後のせん断力である。図-2にヒズミ速度とヒズミの関係の一例の図を示す。図-1において得た応力増加前後のヒズミ速度を式(3)に代入すれば、結合数Sが得られる。ここで、入の値は松井ら⁴⁾が用いた2.8 Aを採用した。結合数Sを式(2)に代入すれば、活性化エネルギー△Fが決定される。表-2に圧密圧力と結合数S、活性化エネルギー△Fの関係を示す。

以上の結果を考察すると、正規圧密粘土では、活性化エネルギー△Fは圧密圧力に無関係で28~30

Kcal/mol の範囲にあると考えられるが、結合数Sは圧密圧力に比例した直になっている。一方、過圧密粘土は少しバラツキがあるが、活性化エネルギー△Fは正規圧密粘土より大きくなる傾向にあり、結合数Sは過圧密比に逆比例している。

したがって、図-1と比較して、せん断力は活性化エネルギー△Fよりも結合数Sにより大きく影響されることが解り。

しかし、粘着力C、内部摩擦角中にどの様に影響を与えるかは、もっと多くの上で定量的に実験を行なう必要がある。

4. あとがき

今回の実験でせん断力に影響を与えるのは、活性化エネルギー△Fより結合数Sであることが明らかになった。しかし、高い過圧密比および高压下での活性化エネルギー△Fの影響については今後の研究課題である。また、せん断力の中で、粘着力Cおよび内部摩擦角中等に与える影響まで明らかにできていないので、今後、粘着力C=0の砂質土とか、内部摩擦角中=0の粘性土等で、定量的に実験を行なう必要がある。そして、流動粘性に影響を与える他の因子についても、統一的に実験を行なう予定である。

5. 参考文献

- 1) たとえば 中川 神戸：“レオロジー” みすず書房
- 2) R.J. Kreijek他：“Directional creep response of anisotropic clays” Geotechnique 27 no1, 1977
- 3) O.B. Andersland他：“Soil deformation rates and activation energies” Geotechnique 20 no.1, 1970
- 4) 松井・伊藤：“粘土の流動機構に関する研究” 土木学会論文報告集 236号 1975年 4月
- 5) 松井・伊藤：“粘土 水系の統一的な流動に関する基礎的研究” 土木学会論文報告集 242号 1975年 10月
- 6) A Singh：“General stress-strain-time function for soils” A.S.C.E. January 1968年

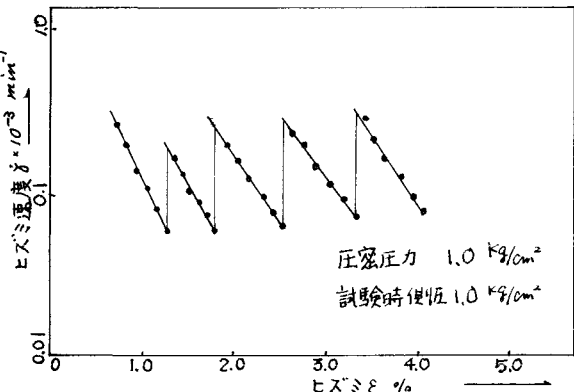


図-2 ヒズミ速度とヒズミの関係

表-2 結合数および活性化エネルギー

圧密圧力 kg/cm²	試験時側圧 kg/cm²	平均側圧 kg/cm²	結合数 cm²	活性化エネルギー Kcal/mol
1.0	1.0	0.496	1.41	28.42
		0.581	1.45	29.42
		0.660	1.42	30.61
		0.751	1.40	32.13
		平均	1.42	30.14
3.0	1.0	0.574	1.13	32.43
		0.672	1.30	32.68
		0.770	1.42	33.05
		0.868	1.47	33.80
		平均	1.31	32.99
5.0	1.0	0.522	2.20	27.74
		0.612	1.97	29.08
		0.701	2.39	28.77
		0.792	2.46	29.24
		平均	2.25	28.71
3.0	3.0	0.571	1.49	30.27
		0.668	1.11	34.07
		0.766	1.31	33.87
		0.863	1.43	34.29
		平均	1.32	33.13
5.0	3.0	0.553	1.97	29.92
		0.648	1.63	31.13
		0.738	1.67	31.92
		0.832	2.10	31.15
		平均	1.74	31.03
5.0	5.0	0.567	2.90	27.11
		0.664	2.57	28.37
		0.761	2.32	29.02
		0.858	2.54	29.96
		平均	2.57	28.79